

# شناسایی، طبقه‌بندی و آنالیز بیان خانواده ژنی عوامل رونویسی *DREB* در گیاه آلوروپوس لیتورالیس (*Aeluropus littoralis*) تحت تنش شوری

سید حمیدرضا هاشمی پتروودی\* و سمیرا محمدی

ایران، ساری، دانشگاه علوم کشاورزی و منابع طبیعی ساری، پژوهشکده ژنتیک و زیست‌فناوری کشاورزی طبرستان، گروه مهندسی ژنتیک و بیولوژی

تاریخ دریافت: ۹۸/۵/۱۱ تاریخ پذیرش: ۹۸/۹/۱۷

## چکیده

خانواده ژنی *DREB* یک خانواده بزرگ از عوامل رونویسی است که نقش‌های مهمی در تنظیم رشد گیاه و پاسخ به تنش‌های محیطی خارجی ایفا می‌کنند. با توجه به تعیین توالی ژنوم گیاه هالوفیت آلوروپوس لیتورالیس (*Aeluropus littoralis*) فرستی برای آنالیز گستردۀ ژنومی ژن‌های خانواده ژنی *DREB* شد. در مجموع، ۱۶ ژن غیرتکراری رمزکننده *DREB* در ژنوم آلوروپوس شناسایی شد. در این پژوهش، ساختارهای ژنی، روابط فیلوجنتیکی، ترکیب موتفیها و الگوهای بیان ژن‌های *DREB* تحت تنش شوری و بازیابی، مورد تجزیه و تحلیل قرار گرفتند. ساختار فیلوجنتی نشان داد که ژن‌های خانواده ژنی *DREB* آلوروپوس بر مبنای همولوژی با گیاه مدل آرابیدوپسیس تالیانا به ۵ گروه A1، A2، A4، A5 و A6 تقسیم‌بندی شدند. آنالیز ساختارهای ژنی و ترکیب موتفیها نشان داد که این ژن‌ها در هر گروه از حفاظت‌شدگی بالایی برخوردار بوده که احتمالاً حاکم از کارکردهای مشابه اعضای هر گروه می‌باشد. براساس داده‌های تعیین توالی RNA ژن‌های *AIDREB6.3* و *AIDREB6.2* و *AIDREB6.4* و *AIDREB6.5* در شرایط بازیابی در بافت برگی مشاهده شد. نتایج این تحقیق می‌تواند پایه‌ای برای تجزیه و تحلیل کارکرده ژن‌های *DREB* آلوروپوس برای درک نقش‌های زیست‌شناسی آن‌ها فراهم آورد.

**واژه‌های کلیدی:** آلوروپوس لیتورالیس، بیان ژن، تنش شوری، روابط فیلوجنتیکی، عوامل رونویسی *DREB*

\* نویسنده مسئول، تلفن: ۰۱۳۳۶۸۷۷۴۷، پست الکترونیکی: shr.hashemi@sanru.ac.ir

## مقدمه

راهانداز ژن‌های هدف، تنظیم کنند. محصولات این ژن‌ها بعنوان پروتئین‌های تنظیم‌کننده عمل می‌کنند و در نتیجه باعث افزایش تحمل گیاه در برابر تنش می‌شوند. عوامل *DREB* رونویسی پاسخ‌دهنده به دهیدراسیون (Dehydration-responsive element-binding protein) نقش حیاتی در تنظیم رشد گیاه و پاسخ به تنش‌های محیطی خارجی ایفا می‌کنند (۵).

خانواده APETALA2/ethylene response (AP2/ERF)، یکی از بزرگ‌ترین گروه‌های عوامل رونویسی در

تنش‌های محیطی مانند شوری اثرات نامطلوبی بر رشد و نمو گیاهان دارند. گیاهان در طول تکامل، پاسخ‌های فیزیولوژیکی و متابولیکی متنوعی را جهت دفاع در برابر شرایط نامطلوب محیطی، توسعه داده‌اند. بطور کلی، تنش‌ها موجب القای بیان ژن‌های خاصی می‌شوند که محصولات این ژن‌ها نقش تعیین‌کننده‌ای در مکانیسم دفاعی در برابر تنش‌های گیاهی بر عهده دارند (۱). عوامل رونویسی می‌توانند مجموعه‌ای از ژن‌های تحت کنترل خود را از طریق اتصال اختصاصی به عناصر تنظیمی سیس موجود در

خانواده بدليل نقش آنها در تنش هیدراسیون بوده ولی تاکنون کارکردهای متنوع دیگری نیز برای اعضای این خانواده ژئی شناسایی شده است. بعنوان مثال، ژن *DREB1D/CBF4* در تحمل گیاه به تنش خشکی نقش دارد، در حالی که همولوگ آن ژن *DREB1A/CBF3* در پاسخ به تنش سرما عمل می‌کند (۱۸). مشخص شده است که ژن *DREB1C/CBF2* بعنوان تنظیم‌کننده منفی، با کنترل *DREB1B/CBF1* و *DREB1A/CBF3*، پاسخ گیاه به تنش سرما را بشدت کنترل می‌کند. گزارش شده است که *DREB2C* در تحمل به گرما به جای تحمل به خشکی نقش دارد (۳۶). تنوع عملکردی ژن‌های مختلف *DREB* علی‌رغم همولوژی بالای توالی آنها، بررسی عملکردی و مولکولی اعضای این خانواده ژئی را جهت درک مکانیسم‌های تنظیمی حاکم در بیان این ژن‌ها اجتناب‌ناپذیر می‌نماید.

در ذرت، بررسی دو ژن *DREB* (*ZmDREB1A*) و (*ZmDREB2A*) بترتیب متعلق به زیرگروه‌های DREB1 و DREB2 نشان داد که این ژن‌ها در پاسخ به تنش خشکی بیشتر بیان می‌شوند (۴۸ و ۴۹). مشخص شد که به غیر از ژن *DREB2A* آرابیدوپسیس، بیان ژن *ZmDREB2A* در پاسخ به تنش غیرزیستی از طریق یک مکانیسم پیرايش متناوب (Alternative splicing) تنظیم شده، که پروتئین بیان شده بطور مستقیم بیان ژن پایین‌دست را فعال می‌نماید (۴۸). یافته‌های مشابه در برنج، گندم و جو، حاکی از وجود مکانیسمی است که به دقت فعالیت ژن‌های فاکتور رونویسی القاء‌شونده تحت تنش را تنظیم می‌کند و نشان می‌دهد که این مکانیسم مولکولی در گیاهان تکله و دولپه متفاوت است (۴۵ و ۶۲). این مشاهدات تأکیدی بر اهمیت شناسایی ژن‌های خانواده *DREB* برای درک مکانیسم‌های انتقال سیگنال برای بهبود به تنش در گیاهان است.

گیاهان می‌باشد که با حضور دمین اتصال به DNA نوع AP2/ERF مشخص می‌شوند. این دمین متشکل از ۶۰ تا ۷۰ اسید‌آمینه می‌باشد که از درجه حفاظت‌شدگی بالایی برخوردارند (۶۱). عوامل رونویسی DREB، یک زیرگروه بزرگ متعلق به خانواده AP2/ERF است که نقش مهمی در بیان ژن‌های پاسخ‌دهنده به تنش در مسیر مستقل از ABA ایفا می‌کنند (۵۶). در ناحیه راهانداز بسیاری از ژن‌های پاسخ‌دهنده به تنش غیرزیستی (مانند خشکی، شوری، سرما و گرما)، عناصر تنظیمی سیس به نام DRE/CRT قرار دارند. موتیف ۵'-A/GCCGAC-3' هسته توالی DRE می‌باشد که در ناحیه راهانداز این ژن‌ها از درجه حفاظت‌شدگی بالایی برخوردار است. عوامل رونویسی DREB با اتصال به ناحیه DRE/CRT، بیان ژن‌های پاسخ‌دهنده به تنش غیرزیستی را تنظیم می‌کنند (۵۲ و ۶۳). عوامل رونویسی DREB در آرابیدوپسیس، بر اساس مشخصات ساختاری به ۶ زیرگروه A-1 تا A-6 تقسیم شدند (۵۲).

این عوامل رونویسی بطور کلی در تحمل گیاه در برابر تنش‌های غیرزیستی مانند انجماد (۲۸)، خشکی (۲۵)، گرما (۴۸)، شوری (۲۵) و اسمزی (۱۳) نقش دارند. بعنوان مثال می‌توان به بیش‌بیان (Overexpression) ژن *DREB1A/CBF3* در گیاه آرابیدوپسیس اشاره نمود که به افزایش قابل توجه تحمل گیاه در برابر تنش‌های خشکی، انجماد و شوری بالا منجر شد (۳۱ و ۴۰). بیش‌بیان ژن *DREB2A* در گیاه آرابیدوپسیس تالیانا نیز موجب القاء بیان ژن‌های پاسخگو به تنش خشکی و گرما شده که با افزایش تحمل به تنش‌های خشکی، گرما و شوری بالا همراه بود (۵۳). لازم بذکر است فعلیت و میزان بیان ژن *ZmDREB2A* تحت تنش‌های خشکی و گرما، بشدت تحت تأثیر تغییرات بعد از رونویسی (۵۰) و عناصر تنظیمی سیس موجود در ناحیه پروموتوری (۳۲) کنترل می‌شود.

در گیاهان، گروه ژئی *DREB* بصورت خانواده ژئی و از چندین عضو برخوردار می‌باشد. گرچه وجه تسمیه این

(<https://www.arabidopsis.org/>) دریافت شد. سپس توالی‌های دریافت شده از طریق روش tBLASTn در نرمافزار BioEdit (۱۹) با کمتر از E-value ۱E-10 جهت جستجوی ژن‌های AP2/ERF در توالی ژنوم مرجع گیاه آلوروپوس لیتورالیس موجود در پژوهشکده ژنتیک و زیست‌فناوری کشاورزی طبرستان، مورد استفاده قرار گرفت. پس از حذف پروتئین‌های ناقص و تکراری، در نهایت، توالی‌های نواحی کدکننده یا CDS، پروتئینی و ژنومی این خانواده شناسایی شد. تأیید نهایی حضور دمین حفاظت شده AP2، با استفاده از پایگاه‌های اطلاعاتی

InterProScan

[\(<http://pfam.xfam.org/>\) Pfam، \(۲۹\) \(search \(۱۲\) و \(<http://smart.embl-heidelberg.de/>\) SMART انجام شد. در نهایت، توالی دمین‌های AP2 پروتئین‌های AP2/ERF شناسایی شده در آلوروپوس لیتورالیس با استفاده از پایگاه SMART به دست آمد و این توالی‌ها برای شناسایی ژن‌های DREB مورد تجزیه و تحلیل قرار گرفتند. وزن مولکولی و نقطه ایزوالکتریک پروتئین‌های DREB با استفاده از ابزار ProtParam از پایگاه اطلاعاتی ExPASy \(<https://web.expasy.org/protparam/>\) برآورد شد \(۱۴\). بمنظور شناسایی جایگاه سلولی پروتئین‌ها از برنامه WoLF \(<https://wolfsort.hgc.jp/>\) PSORT استفاده شد \(۲۶\).](https://www.ebi.ac.uk/interpro/search/sequence-)

تجزیه و تحلیل فیلوزنیکی و هم‌ردیفسازی خانواده ژنی DREB در آلوروپوس لیتورالیس: جهت بررسی روابط تکاملی میان اعضای یک خانواده ژنی ابتدا بایستی تجزیه و تحلیل هم‌ردیفسازی صحیح صورت گیرد، سپس درخت فیلوزنیکی با الگوریتم مناسب ترسیم شود. ابتدا هم‌ردیفسازی توالی‌های پروتئینی DREB به دست آمده از آلوروپوس با استفاده از نرمافزار ClustalW صورت گرفت (۵۸). با استفاده از نتایج حاصل از هم‌ردیفسازی توالی‌های پروتئینی، درخت فیلوزنیکی این توالی‌ها با استفاده از نرمافزار MEGA 6.0 (۵۷) بر مبنای روش اتصال همسایه

باتوجه به تعیین توالی ژنوم گیاه هالوفیت آلوروپوس لیتورالیس (*Aeluropus littoralis*) در پژوهشکده ژنتیک و زیست‌فناوری طبرستان (منتشر نشده)، فرصتی برای تجزیه و تحلیل و شناخت ژن‌های خانواده DREB در یک گونه متحمل به تنش از خانواده گندمیان، فراهم شد. گیاه آلوروپوس لیتورالیس گیاهی است تک‌لپه و C<sub>4</sub> که می‌تواند سطوح بالای شوری (بطور معمول کلرید سدیم) را تا بیش از ۶۰۰ میلی‌مولار تحمل کند و بیشتر در سواحل دریاها و دریاچه‌های شور، کنار جاده و چمنزارهای رودخانه‌ای می‌رویند (۲). این گیاه، علاوه‌بر مقاومت به شوری، بعنوان گیاهی مقاوم به خشکی و گرما نیز محسوب می‌شود (۱۶، ۲۴، ۳۰ و ۶۵). با اشاره به اهمیت آلوروپوس لیتورالیس بعنوان یک منبع ژنتیکی غنی جهت شناسایی ژن‌های جدید مرتبط با تحمل به شوری، خشکی و گرما برای اصلاح گیاهان زراعی (۹، ۱۵، ۲۰، ۲۱ و ۲۲) و همچنین نقش ژن‌های DREB در مقاومت گیاهان نسبت به تنش‌ها، این بررسی بعنوان اولین مطالعه کارکردی ژن‌های DREB در این گیاه صورت گرفت. در این مطالعه، برای تعیین رابطه ساختار-عملکرد ژن‌های خانواده DREB در این گیاه، بررسی گستره ژنومی این ژن‌ها انجام شد و روابط فیلوزنیکی ژن‌های DREB1 و DREB2 در آلوروپوس، آرابیدوپسیس، برنج و ذرت نیز مدنظر قرار گرفت. در نهایت، برای درک بیشتر کارکرد این ژن‌ها، الگوی بیان آن‌ها در دو بافت برگ و ریشه و پاسخ‌های آن‌ها در شرایط تنش شوری و بازیابی، مورد بررسی قرار گرفت.

## مواد و روشها

شناسایی اعضای خانواده ژنی DREB در آلوروپوس لیتورالیس: در این مطالعه جهت شناسایی اعضای خانواده ژنی DREB در آلوروپوس لیتورالیس، ابتدا توالی‌های پروتئینی ژن‌های خانواده AP2/ERF برنج و آرابیدوپسیس، بترتیب از پایگاه‌های RGAP داده و TAIR (<http://rice.plantbiology.msu.edu/>)

سطح بیان آن‌ها بود، بیان ژن‌های کاندید، مورد بررسی قرار گرفت و در نهایت نتایج به دست آمده در نمودار Heatmap CIMminer ترسیم شده توسط نرم‌افزار (<https://discover.nci.nih.gov/cimminer/home.do/>) ارائه شد (۵۴).

## نتایج

شناسایی اعضای خانواده ژنی *DREB* در آلوروپوس لیتورالیس: جهت شناسایی ژن‌های *DREB* بالقوه در ژنوم آلوروپوس لیتورالیس، از الگوریتم tBLASTn توالی‌های پروتئینی خانواده AP2/ERF آربیدوپسیس و برنج با ژنوم آلوروپوس استفاده شد. بر این اساس پس از حذف توالی‌های تکراری، ۶۷ توالی پروتئینی شناسایی شد. نتایج بررسی پروتئین‌ها در پایگاه‌های InterProScan و Pfam مشخص کرد که تمام توالی‌های شناسایی شده دارای دمین AP2 هستند. سپس توالی دمین‌های ۲ پروتئین‌های شناسایی شده با استفاده از پایگاه SMART به دست آمد. با بررسی توالی دمین‌های AP2 و همولوژی با ژن‌های آربیدوپسیس، ۱۶ توالی کدکننده *DREB* بعنوان اعضای خانواده *DREB* در گیاه آلوروپوس لیتورالیس شناسایی شدند. جهت نام‌گذاری ژن‌های *DREB* آلوروپوس، ابتدا پیشوند Al برگرفته از گیاه *A. littoralis* و سپس *DREB* و در نهایت شماره‌گذاری براساس گروه‌بندی ژن‌ها در درخت فیلوزنیکی انجام گرفت. این شیوه نام‌گذاری بیشتر در مورد ژن‌های *DREB* ذرت و جو نیز استفاده شده است (۴۱ و ۴۷). طول پروتئین‌های این خانواده از ۱۵۹ (AIDREB5.3) تا ۴۴۸ اسید‌آمینه (AIDREB6.1) متغیر بود. وزن مولکولی آن‌ها نیز از ۱۷/۴۰ تا ۴۸/۴۸ کیلو Dalton بود. شاخص ایزوکتریک پروتئین‌های مورد مطالعه متغیر و در محدوده ۴/۹۱ در AIDREB5.2 تا ۹/۹۰ در AIDREB5.3 بود (جدول ۱). یکی از ویژگی‌های کلیدی در بررسی کارکرد پروتئین‌ها، مکان‌یابی سلولی است که می‌تواند در فعالیت سلولی

(NJ) با آزمون بوت‌استرپ (۱۱) با تکرار ۱۰۰۰ ترسیم شد. همچنین درخت فیلوزنیکی توالی‌های DREB1 و DREB2 آلوروپوس، آربیدوپسیس، برنج و ذرت براساس هم‌رده‌فاسازی دمین کارکردی رسم شد.

تجزیه و تحلیل ساختار ژنی و شناسایی موتفی‌های حفاظت شده: از طریق مقایسه توالی‌های کدکننده CDS و ژنومی مربوط به هر ژن، ساختار اگرون‌ایترنون ژن‌های *DREB* در آلوروپوس با استفاده از برنامه GSDS (http://gsds.cbi.pku.edu.cn/) ترسیم شد (۲۷). بمنظور شناسایی موتفی‌های حفاظت شده در توالی‌های پروتئینی MEME (http://meme-suite.org/tools/meme/) استفاده شد (۴). پارامترهای مورد استفاده شامل شناسایی حداقل ۱۵ موتفی، و کمترین و بیشترین طول موتفی‌ها بترتیب ۶ و ۵۰ اسید‌آمینه بود. علاوه‌بر این، تمامی موتفی‌های شناسایی شده براساس پایگاه اطلاعاتی InterProScan مستندسازی شدند.

تنش شوری و بررسی الگوی بیان ژن‌های *DREB* در بافت‌های برگ و ریشه آلوروپوس: برای بررسی بیان ژن‌های *DREB* در بافت‌های برگ و ریشه آلوروپوس تحت تنش شوری، از داده‌های RNA-seq استفاده شد. ابتدا بر روی گیاهان دو ماهه، تنش شوری در غلظت ۶۰۰ میلی‌مولار اعمال شد. سپس یک هفت‌هه پس از اعمال تنش شوری، نمونه‌برداری از دو بافت برگ و ریشه صورت گرفت. در ادامه، گیاهان باقیمانده به محیط هیدرپونیک فاقد نمک منتقل و یک هفت‌هه پس از انتقال به شرایط بازیابی، از بافت‌های برگ و ریشه نمونه‌برداری صورت HiSeq 2500 شرکت Illumina انجام گرفت. آنالیز تفاوت بیان ژن‌ها به صورت Log2FC در شرایط تنش شوری و بازیابی با CLC Genomics Workbench استفاده از نرم‌افزار (www.clcbio.com) Version 6.5 ترتیب که پس از تشکیل ماتریس بیان ژن که حاوی ژن‌ها و

شناسایی شده در هسته و پروتئین‌های AIDREB5.1 و AIDREB6.4 بترتیب در سیتوپلاسم و کلروپلاست، فعال هستند (جدول ۱).

مشارکت داشته باشد و بطور کارآمدی در انتخاب جایگاه درست سلولی عمل کند (۶۴). مکانیابی پروتئین‌ها مشخص نمود که ۱۶ پروتئین از ۱۶ پروتئین DREB

جدول ۱- تعیین مشخصه ژن‌های *DREB* در ژنوم آلوروپوس لیتورالیس

| جایگاه سلولی   | نقشه ایزووالکتریک | مولکولی | وزن | تعداد ایترون | تعداد اگزون | طول CDS | طول ژن | طول پروتئین | شماره ژن | نام ژن            |
|--|-------------------|---------|-----|--------------|-------------|---------|--------|-------------|----------|-------------------|
| nucl: 10, mito: 2, chlo: 1, cysk: 1                  | 4.94              | 24.38   | 0   | 1            | 669         | 669     | 669    | 222         | Alg12355 | <i>AIDREB 1.1</i> |
| nucl: 11, cyto: 2, vacu: 1                           | 6.45              | 28.03   | 0   | 1            | 762         | 762     | 762    | 253         | Alg655   | <i>AIDREB 2.1</i> |
| nucl: 9, cyto: 4, chlo: 1                            | 4.96              | 43.07   | 3   | 4            | 1173        | 2747    | 1173   | 390         | Alg6392  | <i>AIDREB 2.2</i> |
| nucl: 13, plas: 1                                    | 6.21              | 28.29   | 1   | 2            | 762         | 1462    | 762    | 253         | Alg13463 | <i>AIDREB 2.3</i> |
| nucl: 14   | 5.30              | 22.62   | 0   | 1            | 633         | 633     | 633    | 210         | Alg2745  | <i>AIDREB 4.1</i> |
| nucl: 13, cyto: 1                                    | 5.43              | 24.78   | 0   | 1            | 702         | 702     | 702    | 233         | Alg9994  | <i>AIDREB 4.2</i> |
| nucl: 13, cyto: 1                                    | 5.00              | 2733    | 0   | 1            | 780         | 780     | 780    | 259         | Alg14808 | <i>AIDREB 4.3</i> |
| cyto: 10, nucl: 2, chlo: 1, mito: 1                  | 5.26              | 22.85   | 0   | 1            | 639         | 639     | 639    | 212         | Alg1100  | <i>AIDREB 5.1</i> |
| nucl: 7, mito: 5, chlo: 1, extr: 1                   | 4.91              | 24.10   | 0   | 1            | 687         | 687     | 687    | 228         | Alg2574  | <i>AIDREB 5.2</i> |
| nucl: 11, mito: 2, cyto: 1                           | 9.90              | 17.40   | 0   | 1            | 480         | 480     | 480    | 159         | Alg10270 | <i>AIDREB 5.3</i> |
| nucl: 8, chlo: 3, extr: 3                            | 5.20              | 24.38   | 0   | 1            | 714         | 714     | 714    | 237         | Alg14923 | <i>AIDREB 5.4</i> |
| nucl: 14   | 7.91              | 48.48   | 0   | 1            | 1347        | 1347    | 1347   | 448         | Alg3883  | <i>AIDREB 6.1</i> |
| nucl: 9.5, nucl_plas: 5.5, mito: 2, chlo: 1, cyto: 1 | 6.75              | 31.50   | 0   | 1            | 891         | 891     | 891    | 296         | Alg6105  | <i>AIDREB 6.2</i> |
| nucl: 13, cyto: 1                                    | 6.45              | 30.54   | 0   | 1            | 861         | 861     | 861    | 286         | Alg8903  | <i>AIDREB 6.3</i> |
| chlo: 12, nucl: 2                                    | 9.05              | 30.53   | 0   | 1            | 840         | 840     | 840    | 279         | Alg9431  | <i>AIDREB 6.4</i> |
| nucl: 14   | 8.73              | 46.81   | 0   | 1            | 1311        | 1311    | 1311   | 436         | Alg12885 | <i>AIDREB 6.5</i> |

اعداد نمایش داده شده در جایگاه سلولی؛ بر مبنای جایگاه‌های پیش‌بینی شده بر اساس مشابهت با جایگاه ژنی ۱۶ ژن همولوگ بر مبنای الگوریتم Nearest Neighbors (نزدیکترین همسایه) می‌باشد.

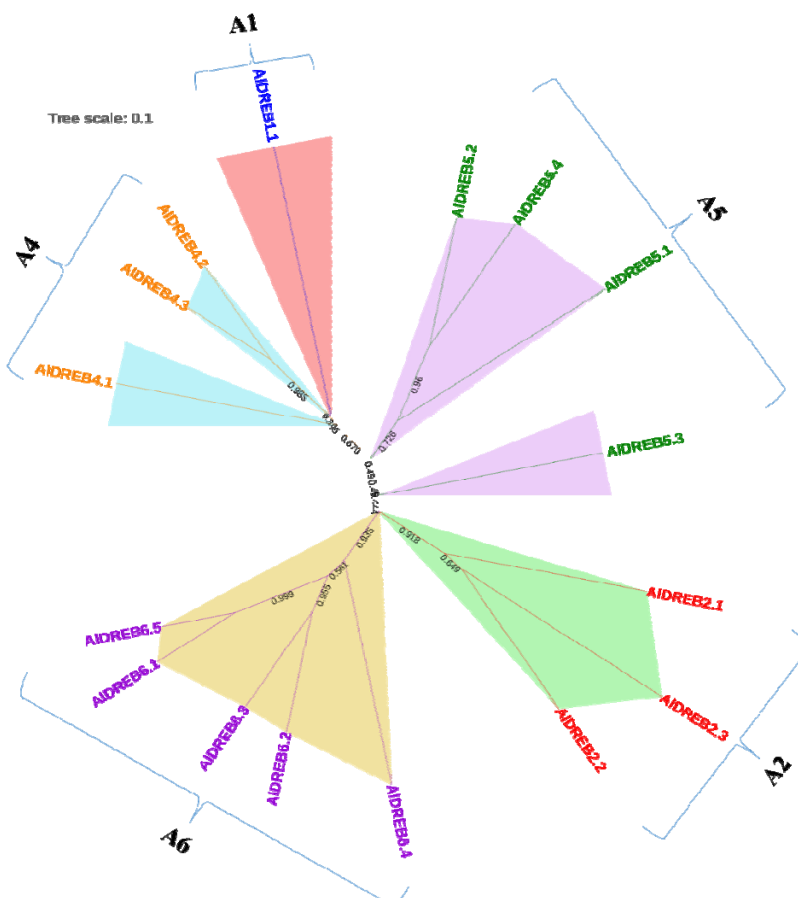
یک ژن در گروه A1، ۳ ژن در گروه A2، ۳ ژن در گروه A4، ۴ ژن در گروه A5، و ۵ ژن در گروه A6 قرار گرفت (شکل ۱) نام‌گذاری این گروه‌ها براساس همولوژی با آراییدوپسیس، صورت گرفت.

تجزیه و تحلیل همدیفسازی خانواده DREB در آلوروپوس لیتورالیس: بنظر دسته‌بندی ژن‌های DREB شناسایی شده در آلوروپوس لیتورالیس، ابتدا همدیفسازی چندگانه توالی‌های پروتئینی ژن‌های DREB صورت گرفت، سپس درخت فیلوجنتیکی توالی‌های پروتئینی مربوطه بر مبنای روش اتصال همسایه (NJ) ترسیم شد. ۱۶ ژن DREB آلوروپوس به ۵ گروه A1، A4، A5 و A6 تقسیم‌بندی شدند. به این ترتیب که

تجزیه و تحلیل فیلوجنتیکی و همدیفسازی خانواده ژنی DREB در آلوروپوس لیتورالیس: بنظر دسته‌بندی ژن‌های DREB شناسایی شده در آلوروپوس لیتورالیس، ابتدا همدیفسازی چندگانه توالی‌های پروتئینی ژن‌های DREB صورت گرفت، سپس درخت فیلوجنتیکی توالی‌های پروتئینی مربوطه بر مبنای روش اتصال همسایه (NJ) ترسیم شد. ۱۶ ژن DREB آلوروپوس به ۵ گروه A1، A4، A5 و A6 تقسیم‌بندی شدند. به این ترتیب که

علاوه براین، ژن‌های A1 (*DREB1*) و A2 (*DREB2*) در آراییدوپسیس (۵۲)، برقج (۴۴ و ۴۵) و ذرت (۴۱) شناسایی و دانلود شدند. سپس، درخت فیلوزنیکی براساس *DREB2* هم ریفسازی ۵۵ توالی پروتئینی *DREB1* و *DREB2* آلو روپوس، آراییدوپسیس، برقج و ذرت ترسیم شد (شکل ۳). در نهایت، توپولوژی درخت، ژن‌های گروه A1 و *DREB1* را در دو خوش جدالگانه قرار داد. گروه A2 *DREB2* در مجموع شامل ۲۷ ژن بوده، که ۱۰، ۶ و ۱ ژن بترتیب به ذرت، برقج، آراییدوپسیس و آلو روپوس تعلق داشت. گروه *DREB2* نیز در مجموع شامل ۲۸ ژن بوده، که تعداد ۱۰، ۶ و ۳ ژن بترتیب در ذرت، برقج، آراییدوپسیس و آلو روپوس مشاهده شد (شکل ۳).

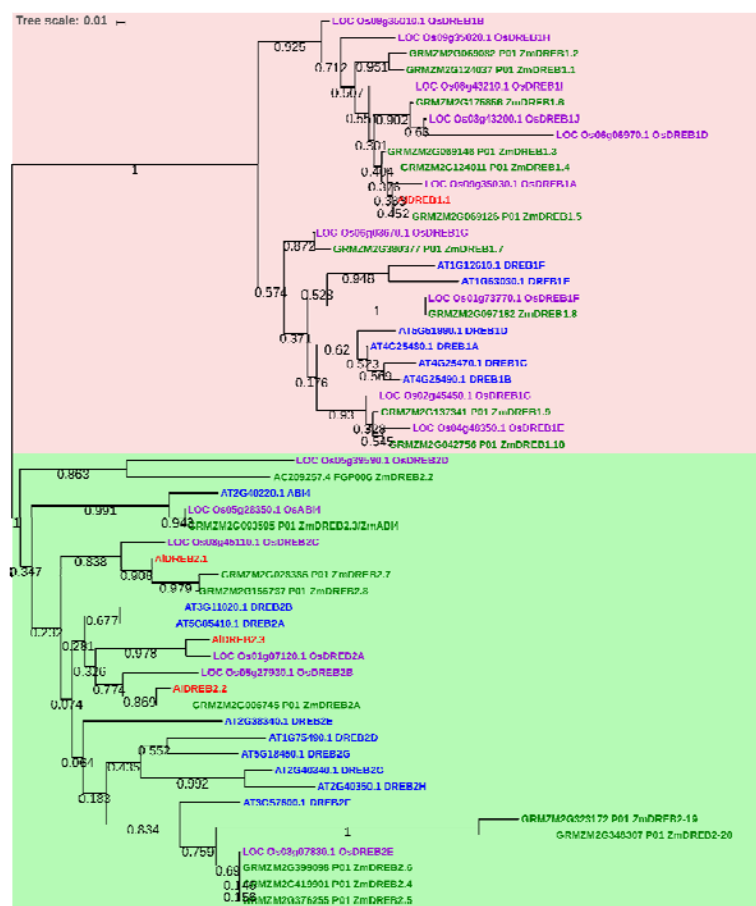
کد شده توسط ژن‌های *DREB* اسید آمینه والین در موقعیت ۱۴ دمین AP2/ERF حفاظت شده است ولی گلوتامیک اسید در موقعیت ۱۹ حفاظت شده نیست و در گروه A1، A5 و A6 بترتیب با والین، آلانین و لوسین جایگزین شده است. گروه A1 حاوی توالي آمینو اسیدی CEVR حفاظت شده بین V14 و V19 بود و این منطقه به یک توالي آمینو اسیدی AEIR در گروه A2 و A6 تبدیل شد. در گروه A4، سرین در موقعیت ۱۵ دمین AP2/ERF برای اتصال اختصاصی عنصر ERE بسیار حیاتی است و آلانین یا سرین در موقعیت ۱۵ دمین در گروه A5 بسیار مهم است (شکل ۲).



شکل ۱- آنالیز فیلوزنیکی اعضای خانواده *DREB* در آلو روپوس لیتوالیس. هم ریفسی چندگانه پروتئین‌های *DREB* به دست آمده از آلو روپوس لیتوالیس با استفاده از نرم‌افزار ClustalW انجام و درخت فیلوزنیکی به کمک نرم‌افزار MEGA 6.0 بر مبنای روش اتصال همسایه با آزمون بوت استرپ با تکرار ۱۰۰۰ ترسیم شد.

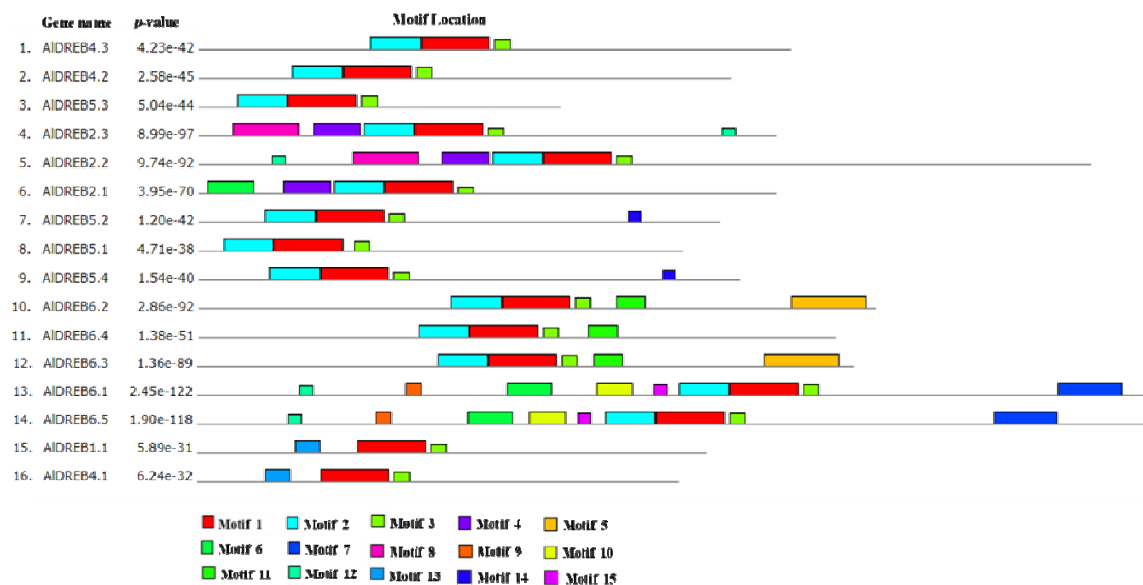
| Gene name     | Strand 1                           |            | Strand 2    |                 | Strand 3       |       | Helix |  |
|---------------|------------------------------------|------------|-------------|-----------------|----------------|-------|-------|--|
|               | 10                                 | 20         | 30          | 40              | 50             | 60    | 70    |  |
| A1 ALDREB1.1  | VFRGVRRGRGNAICRWVCPVPGRRGCRLIGL    | TEDTAEEAAR | DIAAMLAIAAG | AGACILNFADSAWLL |                |       |       |  |
| ALDREB2.1     | PFRSVERCR-TWCKNWVPEEP-NRGPRINLG    | TFAATEPDI  | DAAARALYGC  | DCARINLQAAAAAA  |                |       |       |  |
| A2 ALDREB2.2  | GFRGVRRGR-TWCKNWVPEEP-NRVPRNLGT    | TFPTAEDAA  | DEAARAMYC   | ALARINFPESKHMPT |                |       |       |  |
| ALDREB2.3     | AVERGVPRCR-TWCKNWVPEEP-NRGPRINLG   | SEPALEDAH  | DEAAKAMYG   | PTARVNESESSADA  |                |       |       |  |
| A4 ALDREB4.1  | VYRGSVERCR-TWCKNWVPEEP-EL-RKPERIWL | TYPTPEMAAA | DAALALRG    | AGTVLNFFDAARSR  |                |       |       |  |
| ALDREB4.2     | TYRGSVPRMR-SWCKNWVPEEP-RKKPRINLG   | TFATIEEMA  | DTAAALAIKG  | RAAHINFFPLAGVL  |                |       |       |  |
| ALDREB4.3     | SVDGVPRCR-SWCKNWVPEEP-RKKPRINLG    | TERPTEEMA  | DTAAALAIKG  | RAAHINFFPLAGVL  |                |       |       |  |
| ALDREB5.1     | KYKEGVRRCR-KWCKNWVPEEP-LP-NSRPE    | SYDAPEKAER | DAFVCLRG    | AGADINFFDSPPPC  |                |       |       |  |
| A5 ALDREB5.2  | QYKEGVPRMR-SWCKNWVPEEP-NQKRE       | SYSTAEAA   | DBALI       | CLKG            | SAADINFFPVHLPH |       |       |  |
| ALDREB5.3     | QYRGSVPRMR-KWCKNWVPEEP-NKRSR       | SYSTAVAA   | DAVEYL      | RSARINFFDQLDGA  |                |       |       |  |
| ALDREB5.4     | QYRGSVPRMR-KWCKNWVPEEP-NKRSR       | SYSTAVAA   | SDAVIN      | FFSSSSSTS       |                |       |       |  |
| ALDREB6.1     | LYRGSVRCR-HVCKNWVPEEP-LP-RNRTRI    | TFDCAEADAA | DEAAFL      | ENARINFFDILFLGK |                |       |       |  |
| ALDREB6.2     | LYRGSVRCR-HVCKNWVPEEP-LP-RNRTRI    | TFDCAEADAA | DBAAFRLRG   | DSARINFFELRRGG  |                |       |       |  |
| ALDREB6.3     | LYRGSVRCR-HVCKNWVPEEP-LP-RNRTRI    | TFDCAEADAA | DCRAYRLRG   | EAARINFFPDNAASR |                |       |       |  |
| ALDREB6.4     | LYRGSVRCR-QVCKNWVPEEP-LP-QNVRP     | TFDCAEADAA | DBAAFRLRG   | EYARINFFGVMDGQ  |                |       |       |  |
| ALDREB6.5     | LYRGSVRCR-HVCKNWVPEEP-LP-RNRTRI    | TFDCAEADAA | DRAEFKLRG   | ENARINFFDRFLGK  |                |       |       |  |
| Clustal Cons. | *****                              | *****      | *****       | *****           | *****          | ***** | ***** |  |

شکل ۲- هم‌ردیف‌سازی دمین‌های AP2 پروتئین‌های DREB در آلو روپوس لیتواریس. هم‌ردیفی چندگانه دمین‌های AP2 پروتئین‌های به دست آمده از آلو روپوس لیتواریس با استفاده از نرم‌افزار ClustalW انجام شد. ردیف‌هایی که به صورت کادر مشخص شده‌اند، اعضای هر گروه را نشان می‌دهند و ستون‌هایی مشخص شده به صورت کادر، نشان‌دهنده آمینو اسیدهای حفاظت شده می‌باشند.



در این تحقیق ۱۵ موتیف حفاظت شده با استفاده از نرم افزار MEME برای شناسایی موتیف‌های حفاظت شده در میان پروتئین‌های خانواده DREB مورد تجزیه و تحلیل قرار گرفت. تجزیه و تحلیل موتیف نشان داد که بسیاری از ژن‌های *DREB* آلوروپوس حاوی موتیف‌های ۱، ۲ و ۳ بودند (شکل ۴). با مستندسازی موتیف‌های شناسایی شده با استفاده از InterPro، موتیف‌های ۱ و ۲ بعنوان دمین AP2/ERF اختصاصی در گروه A2 DREB یافت شد (جدول ۲). این نتایج نشان داد که بیشتر اعضای مرتبط به هم در درخت فیلوژنتیکی، ترکیب موتیف مشترکی را با یکدیگر به اشتراک می‌گذارند که این امر می‌تواند بیانگر شباهت‌های عملکردی در میان پروتئین‌های DREB در همان زیرشاخه باشد.

تجزیه و تحلیل ساختار ژنی و شناسایی موتیف‌های حفاظت شده: بررسی ساختار ژنی می‌تواند شواهد ارزشمندی جهت تأیید درخت فیلوژنتیکی و روابط تکاملی درون خانواده‌های ژنی ارائه کند. زیرا این نوع تنوع ساختاری فرایند مهمی در تکامل خانواده‌های ژنی به شمار می‌رود. در این تحقیق، با مقایسه ساختار اگزون-ایترون در توالی‌های کدکننده ژن‌های *DREB* آلوروپوس لیتورالیس، مشخص شد که بیشتر ژن‌ها (۱۴ مورد از ۱۶ ژن) هیچ ایترونی در نواحی کدکننده آن‌ها وجود نداشته و فقط ژن‌های AIDREB2.2 و AIDREB2.3 بترتیب دارای ۳ و یک ایترون هستند (جدول ۱). مشاهده شد که تنها ژن‌های گروه A2 دارای ایترون می‌باشند که نشان‌دهنده مسیر تکاملی متفاوت این ژن‌ها نسبت به سایر ژن‌ها است. در سطح DNA، بیشترین طول ژن (۲۷۴۷) متعلق به ژن AIDREB2.2 و کمترین طول ژن (۶۳۳) متعلق به ژن AIDREB4.1 بود (جدول ۱).



شکل ۴- موتیف‌های حفاظت شده پروتئین‌های DREB در آلوروپوس. موتیف‌های شناسایی شده با شماره‌های ۱ تا ۱۵ با رنگ‌های مختلف در پایین شکل، *p*-value و اسمی اعضای DREB در سمت چپ شکل نشان داده شده است.

جدول ۲- توالی موتیف‌های شناسایی شده در ژن‌های آلوروپوس توسط برنامه MEME

| توالی موتیف | طول موتیف | موتیف                            |
|-------------|-----------|----------------------------------|
| 1           | 30        | RNRTRJWLGTFDATAEDARAYDAAALALRG   |
| 2           | 22        | QKLYRGVRQRSGWKWVAEIREP           |
| 3           | 7         | ARLNFPD                          |
| 4           | 21        | RKAPAKGSKKGCMKGKGGPEN            |
| 5           | 33        | VPEMQQLDFSEAPWDEAEGFALKYPSLEIDWD |
| 6           | 20        | QQRQQMISFGGPQQQQQQF              |
| 7           | 28        | DEAWFSAWGPSSLWDYDMMDNARWLFLN     |
| 8           | 29        | WKKRPRRKRDGPDSIAEVIRWKZINQKL     |
| 9           | 7         | HIFPFAY                          |
| 10          | 16        | QLLRYWSEALNLSPRG                 |
| 11          | 13        | LHAADVDAKLQAIC                   |
| 12          | 6         | RPLKKI                           |
| 13          | 11        | ETRHPVFRGV                       |
| 14          | 6         | PKCMEL                           |
| 15          | 6         | LYQHLL                           |

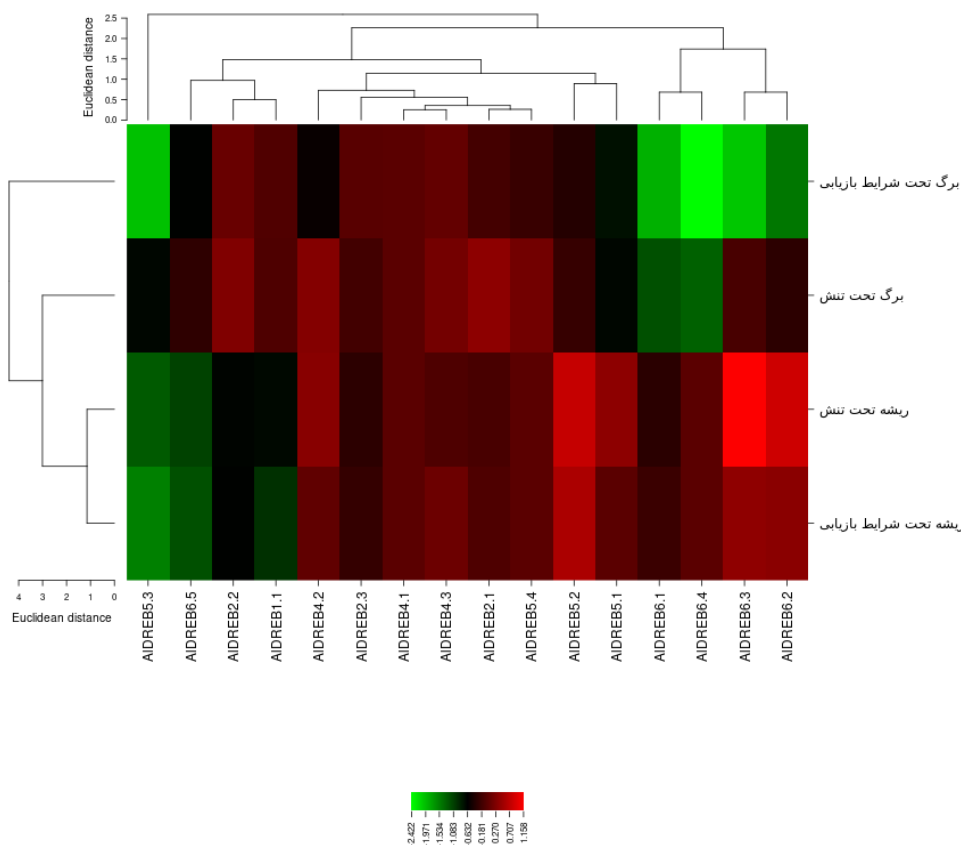
بیشترین کاهش بیان نیز در ژن *AIDREB6.4* (با مقدار بیان ۲/۴۳)، در شرایط بازیابی در بافت برگی (۵/۴ کاهش بیان نسبت به شاهد) مشاهده شد و بعد از آن بیشترین کاهش بیان به ژن *AIDREB6.3* (۲/۰۳)- نیز در شرایط بازیابی در بافت برگی تعلق داشت. بنابراین، نتایج تحقیق حاضر نشان داد که عوامل رونویسی *AIDREB* بعنوان فعال‌کننده‌های مهم رونویسی عمل می‌کنند و می‌توانند در بهبود تحمل گیاه در برابر تنش شوری مفید باشند.

### بحث و نتیجه گیری

بررسی منابع نشان می‌دهد که خانواده ژنی *DREB* در گونه‌هایی مانند برنج، گوجه‌فرنگی، سویا، گندم، جو و ذرت نقش مهمی در پاسخ‌های گیاه به تنش‌های محیطی ایفا می‌نمایند (۳۰-۴۶). بنابراین، در این بررسی برای اولین بار، یک تجزیه و تحلیل جامع از طبقه‌بندی، ساختار ژنی، ترکیب موتیف‌ها و بیان خانواده *DREB* در گیاه آلوروپوس لیتوالیس بعنوان یک گیاه تکلپه از خانواده گندمیان ارائه شد. در مجموع ۱۶ ژن *AIDREB* شناسایی شد که در ۵ گروه A1، A2، A4، A5 و A6 طبقه‌بندی شدند. ژن‌های *AIDREB* در جو نیز در ۵ گروه A1، A2، A4، A5 و A6 در *DREB* طبقه‌بندی شده‌اند (۱۷).

تنش شوری و بررسی الگوی بیان ژن‌های *DREB* در بافت‌های برگ و ریشه آلوروپوس: بمنظور درک بهتر کارکرد ژن‌های *DREB* در گیاه آلوروپوس، الگوی بیان آن‌ها در دو بافت برگ و ریشه، در شرایط تنش شوری و بازیابی با استفاده از داده‌های RNA-seq مورد بررسی قرار گرفت. با استفاده از داده‌های ترانسکریپtom آلوروپوس، یک نمودار Heatmap در مقیاس log2FC (شکل ۵) نشان داده همان‌گونه که در نمودار Heatmap (شکل ۵) نشان داده شده است، الگوی متفاوتی از بیان ژن در ژن‌های *DREB* مشاهده شد. این الگوی بیان متفاوت با توجه به وجود دمین‌های مشابه، می‌تواند بدلیل وجود عملکردهای مولکولی متفاوت و نیز مکانیسم‌های تنظیمی مختلف در کنترل فعالیت این ژن‌ها باشد.

باتوجه به نتایج به دست آمده از آنالیز ترانسکریپtom، ژن‌های *AIDREB5.4* و *AIDREB6.4* قادر بیان در بافت ریشه بودند که حاکی از بیان اختصاصی این ژن‌ها در بافت برگ می‌باشد. ژن *AIDREB6.3* با مقدار بیان ۱/۱۶ در شرایط تنش شوری در بافت ریشه (بیان ۲/۲ برابری نسبت به شاهد)، بیشترین بیان را داشت. بعد از آن ژن *AIDREB6.2* دارای بیشترین مقدار بیان (۰/۸۳)، در شرایط تنش شوری در بافت ریشه بود.



شکل ۵- پروفایل بیانی ژن‌های *DREB* آلوروپوس لیتوالیس بر اساس داده‌های RNA-seq. Heatmap میزان تغییر بیان ژن‌های *DREB* آلوروپوس را در دو بافت برگ و ریشه تحت شرایط تنش شوری و ریکاوری نشان می‌دهد. ارزش نسبی سیگنال به صورت نوار رنگی در انتهای Heatmap ارائه شده است که در آن رنگ سبز نشان‌دهنده کاهش بیان، رنگ سیاه نشان‌دهنده عدم تغییر بیان و رنگ قرمز نشان‌دهنده افزایش بیان است.

حافظت شده است ولی گلوتامیک اسید در موقعیت ۱۹ حافظت شده نیست و در گروه A1 و A5 و A6 بترتیب با والین، آلانین و لوسین جایگزین شده است. برخی مطالعات نشان داده‌اند که دو آمینواسید کارکردی حافظت شده (والین و گلوتامیک اسید) بترتیب در موقعیت‌های ۱۴ و ۱۹ در دمین اتصال به DNA وجود دارند و بنظر می‌رسد که جایگاه‌های مهمی برای اتصال پروتئین‌های *DREB* به توالی‌های سیس DRE هستند. پروتئین‌های *DREB1A* برای اختصاصیت اتصال به DNA، دارای والین در موقعیت ۱۴، و *DREB2A* نیز دارای والین و گلوتامیک اسید در موقعیت‌های ۱۴ و ۱۹ می‌باشد (۵۲). با این حال، مطالعات اخیر نشان داده‌اند که گلوتامیک اسید ۱۹ در پروتئین

لازم بذکر است تعداد ژن‌های *DREB* در گیاهان آرابیدوپسیس، جو، ذرت و ارزن ایتالیایی بترتیب ۵۶، ۴۱، ۴۱ و ۴۸ گزارش شده است (۱۷، ۳۳ و ۴۱ و ۵۲).

پروتئین‌های *DREB* اعضای مهم خانواده عوامل رونویسی AP2/ERF هستند. ناحیه اتصال به این پروتئین‌ها بطور خاص عنصر DRE در منطقه پروموتور ژن‌های پاسخ‌دهنده به تنش را تشخیص می‌دهد و منطقه ترانس‌اکتیویسیون (Transactivation) (فعال‌سازی ترانس)، با فعال‌سازی بیان ژن‌های پاسخ‌دهنده به تنش، مسیرهای سیگنالینگ را در پاسخ به تنش گیاهان فعال می‌کند (۴۰). مطالعه حاضر نشان داد که در پروتئین‌های *DREB* اسید‌آمینه والین در موقعیت ۱۴ دمین

DREB A2 هم رده‌یافسازی توالی‌های آمینواسیدی گروه آراییدوپسیس در ناحیه انتهای آمینی شامل موتیف حفاظت شده-1 CMIV و دمین اتصال به DNA بود (۴۷). این نتایج نشان داد که بیشتر اعضای مرتبط به هم در درخت فیلورنتیکی، ترکیب موتیف مشترکی را با یکدیگر به اشتراک می‌گذارند، که این امر می‌تواند بیانگر شباهت‌های عملکردی در میان پروتئین‌های DREB در همان زیرشاخه باشد.

تجزیه و تحلیل پروفایل بیانی خانواده ژنی می‌تواند اطلاعات مهمی در مورد عملکرد آن‌ها فراهم آورد (۴۴). علی‌رغم حساسیت بالا و توالی اختصاصی (Sequence specific) بودن تکنیک qPCR در کنار اعتبار بالای نتایج حاصله؛ تکنیک RNA-seq ضمن ارائه همزمان توالی و کمیت ژن هدف از اختصاصیت و حساسیت بالایی در شناسایی ایزوفرم‌های مختلف یک ژن برخوردار است. ضمن اینکه امکان ارائه اطلاعات بیانی تمام ژن‌ها را در قالب یک آزمایش فراهم می‌نماید (۵۹). با توجه به عدم تحقیقات پیشین در بررسی بیان خانواده ژنی DREB در گیاه آلوروپوس و همچنین همسانی (Identity) بالای اعضای این خانواده ژنی، در این تحقیق از مزیت روش RNA-seq جهت شناسایی ژن‌های فعال و غیرفعال این خانواده استفاده گردید. اطلاعات حاصله در این بخش جهت غربال تمام اعضای این خانواده ژنی در سطح ترانسکریپتوم بمنظور شناسایی ژن‌هایی با بیشترین و کمترین بیان و ژن‌هایی با بیان بافت-اختصاصی مورد استفاده قرار گرفت. الگوی بیان ژن‌های AIDREB نشان‌دهنده اهمیت نقش آن‌ها در پاسخ گیاه به تنش شوری است. ژن‌های AIDREB6.3 و AIDREB6.2 بیشترین بیان را در شرایط تنش شوری در بافت ریشه به نمایش گذاشتند. ژن AIDREB6.2 با ژن RAP2.4 (At1g78080) در آراییدوپسیس همولوگ است. در مطالعه دیگری مشخص شده است که ژن RAP2.4 در پاسخ به خشکی، شوری بالا و گرمای بیان می‌شود (۵۱ و ۳۷). بیش‌بیان یا

DREB1 در برنج و جو حفاظت‌شده نبوده و به جای آن، والین جایگزین شده است (۷). در بیشتر پروتئین‌های نوع OsDREB1C، به استثنای OsDREB1، والین در هر دو موقعیت ۱۴ و ۱۹، یافت می‌شود. سایر پروتئین‌های نوع DREB1 در گیاهان تکلیبه (مانند جو، گندم و چاودار) نیز دارای والین در موقعیت ۱۹ هستند (۳). این مشاهدات نشان می‌دهند که عملکرد آمینواسید ۱۴ برای فعالیت اختصاصی اتصال به DNA می‌تواند مهمتر از آمینواسید ۱۹ باشد. علاوه‌بر این دو اسیدآمینه، وجود آلانین حفاظت‌شده در موقعیت ۳۷ دمین AP2/ERF نیز در اتصال به عناصر DRE ضروری است (۴۲).

اکثر آمینواسیدها در دمین انتهای آمینی، حفاظت شده هستند. سیگنال متمنزکننده هسته‌ای (NLS)، "PKRPAGRTKFRETRHP" با عنوان موتیف DSAW بلاfaciale در کنار دمین AP2/ERF قرار داشته و یک موتیف LWSY محافظت شده در انتهای کربوکسیلی بیشتر پروتئین‌های DREB1 موجود است (۶) که این امر در مورد توالی AIDREB1.1 آلوروپوس نیز صدق می‌کند.

بررسی ساختار ژنی خانواده DREB نشان داد که ۸۷/۵ درصد از ژن‌های AIDREB فاقد ایترون می‌باشند. همچنین مشخص شده است که ۸۸ درصد از ژن‌های DREB در Populus trichocarpa فاقد ایترون در نواحی کدکننده خود می‌باشند (۵). فقدان ایترون در بیشتر ژن‌های عوامل رونویسی AP2/ERF گیاهی از فرضیه انتقال جانبی ژن از مبدأ باکتری‌ها یا ویروس‌ها حمایت می‌کند (۴۳).

دمین‌ها و موتیف‌های عوامل رونویسی اغلب با برهم‌کنش پروتئین، فعالیت رونویسی و اتصال به DNA پروتئین مرتبط می‌باشند (۳۸ و ۳۹). تجزیه و تحلیل موتیف‌ها نشان داد که موتیف‌های ۱ و ۲ بعنوان دمین AP2/ERF پیش‌بینی شدند. دمین AP2/ERF دارای سه صفحه بتا و یک مارپیچ آلفا در انتهای آمینی خود هستند (۶۰). دمین CMIV (мотیف ۴) بطور اختصاصی در گروه A2 یافت شد.

مقاومت به خشکی در برنج شد. این ژن *HRD* همولوگ ژن *AlDREB4.1* در این مطالعه است. در بررسی چن و همکاران (۵)، ژن‌های *PtrDREB4* و *PtrDREB28* متعلق به زیرگروه A2 توسط تنش‌های ABA، شوری و خشکی القاء شدند. علاوه‌بر این، ژن‌های *PtrDREB51* و *PtrDREB68* متعلق به زیرگروه A4 در تنش‌های شوری و خشکی بیان شدند.

نتایج تحقیق حاضر نشان داد که عوامل رونویسی *AlDREB* احتمالاً عنوان فعال‌کننده‌های مهم رونویسی عمل می‌کنند و می‌توانند در بهبود تحمل گیاه در برابر تنش‌های غیرزیستی، مفید باشند. این مشاهدات می‌توانند پایه‌ای برای تجزیه و تحلیل کارکردی ژن‌های *DREB* آلوروپوس برای درک نقش‌های زیستی آن‌ها فراهم آورد.

#### سپاسگزاری

این پژوهش با حمایت مالی پژوهشکده ژنتیک و زیست‌فناوری کشاورزی طبرستان، دانشگاه علوم کشاورزی و منابع طبیعی ساری در قالب طرح تحقیقاتی مصوب به شماره T234/96 انجام شده است و بدینوسیله نویسنده‌گان بر خود لازم می‌دانند مراتب تشکر صمیمانه خود را اعلام نمایند.

و آلوروپوس لیتورالیس تحت شرایط شوری و همیستی آن‌ها با قارچ‌های میکوریز آربوسکولدار در شرایط طبیعی زیستگاه در دشت تبریز، مجله پژوهش‌های گیاهی (مجله زیست‌شناسی ایران)، جلد ۳۰، شماره ۴، صفحات ۸۲۳-۸۱۷

- 3- Agarwal, P. K., Agarwal, P., Reddy, M., and Sopory, S. K., 2006. Role of DREB transcription factors in abiotic and biotic stress tolerance in plants. *Plant Cell Reports*, 25(12), PP: 1263-1274.

جهش در ژن‌های *RAP2.4* و *RAP2.4B* در آربیدوپسیس مشخص کرد که این ژن‌ها در پایین‌دست یک نقطه مشترک برای مسیرهای پیام‌رسان نور و اتیلن عمل می‌کنند که بطرور هماهنگ چندین فرایند تکاملی و پاسخ به تنش را تنظیم می‌کنند (۳۷). قابل توجه است که در لاین‌های با بیان *RAP2.4* و *RAP2.4B*، بیان چندین ژن دیگر مرتبط با انتقال لیپید نیز تغییر یافته است که بیان‌گر ارتباط بین عوامل رونویسی *DREB* و تغییرات سازگاری در متابولیسم لیپید است (۵۱).

در این بررسی بیشترین کاهش بیان نیز در ژن‌های *AlDREB6.3* و *AlDREB6.4* در شرایط بازیابی در بافت برگی مشاهده شد. در بررسی دیگری، بیان ژن‌های *AhDREB1* و *AtDREB2A* در شرایط رشد طبیعی مشاهده شد. در شرایط تنش شوری، *AhDREB1* در ریشه‌ها بیشتر بیان شد، اما در ساقه‌ها و برگ‌ها با سطح پایین‌تری بیان شد (۵۵). رونویسی ژن *GmDREBa/b* در برگ‌های سویا در تنش‌های سرما، شوری و خشکی القاء شد. در ریشه‌ها، بیان ژن *GmDREBc* در تیمارهای شوری، خشکی و ABA به صورت افزایش بیان مشاهده شد، اما تحت تأثیر تیمار سرما نبود (۳۵). برخی مطالعات نشان داده‌اند که ژن *At2g36450* (*HARDY*) متعلق به زیرگروه A4 است. بیش‌بیان این ژن با بهبود کارآیی استفاده از آب، موجب

#### منابع

- بندۀ حق، ع.، علیپور قربانی، ش.، تورچی، م.، و شکری قره‌لو، و. ر.، ۱۳۹۷. تجزیه پروتئوم بذر کلزا تحت تنش شوری، مجله پژوهش‌های گیاهی (مجله زیست‌شناسی ایران)، جلد ۳۱، شماره ۲، صفحات ۴۳۳-۴۲۲.
- دشتستانی، ف.، حاجی بلند، ر.، و علی اصغرزاد، و. ن.، ۱۳۹۶. جوانزنی، فتوستز و رشد دو گونه هالوفیت پوکستیلا دیستانس
- Bailey, T. L., Boden, M., Buske, F. A., Frith, M., Grant, C. E., Clementi, L., Ren, J., Li, W. W., and Noble, W. S., 2009. MEME SUITE: tools for motif discovery and searching, *Nucleic Acids Research*, 37, PP: 202-208.

- 5- Chen, Y., Yang, J., Wang, Z., Zhang, H., Mao, X., and Li, C., 2013. Gene structures, classification, and expression models of the DREB transcription factor subfamily in *Populus trichocarpa*, The Scientific World Journal, 2013, PP: 1-13.
- 6- Cong, L., Chai, T. Y., and Zhang, Y. X., 2008. Characterization of the novel gene *BjDREB1B* encoding a DRE-binding transcription factor from *Brassica juncea* L. Biochemical and Biophysical Research Communications, 371(4), PP: 702-706.
- 7- Dubouzet, J. G., Sakuma, Y., Ito, Y., Kasuga, M., Dubouzet, E. G., Miura, S., Seki, M., Shinozaki K., and Yamaguchi-Shinozaki, K., 2003. *OsDREB* genes in rice, *Oryza sativa* L., encode transcription activators that function in drought-, high-salt-and cold-responsive gene expression, The Plant Journal, 33(4), PP: 751-763.
- 8- Egawa, C., Kobayashi, F., Ishibashi, M., Nakamura, T., Nakamura, C., and Takumi, S., 2006. Differential regulation of transcript accumulation and alternative splicing of a DREB2 homolog under abiotic stress conditions in common wheat. Genes & Genetic Systems, 81(2), PP: 77-91.
- 9- Faraji, S., Najafi-Zarrini, H., Hashemi-Petroudi, S., and Ranjbar, G., 2017. *AIGLYI* gene implicated in salt stress response from halophyte *Aeluropus littoralis*, Russian Journal of Plant Physiology, 64(6), PP: 850-860.
- 10- Fassbinder-Orth, C. A., 2014. Methods for quantifying gene expression in ecoimmunology: from QPCR to RNA-Seq. Integrative and Comparative Biology, 54(3), PP: 396-406.
- 11- Felsenstein, J., 1985. Confidence limits on phylogenies, an approach using the bootstrap. Evolution, 39(4), PP: 783-791.
- 12- Finn, R. D., Coggill, P., Eberhardt, R. Y., Eddy, S. R., Mistry, J., Mitchell, A. L., Potter, S. C., Punta, M., Qureshi, M., and Sangrador-Vegas, A., 2015. The Pfam protein Families database: towards a more sustainable future. Nucleic Acids Research, 44, PP: 279-285.
- 13- Fujita, Y., Fujita, M., Shinozaki, K., and Yamaguchi-Shinozaki, K., 2011. ABA-mediated transcriptional regulation in response to osmotic stress in plants, Journal of plant research, 124(4), PP: 509-525.
- 14- Gasteiger, E., Hoogland, C., Gattiker, A., Wilkins, M. R., Appel, R. D., and Bairoch, A., 2005. Protein identification and analysis tools on the ExPASy server. In: J. M., Walker (ed.) The proteomics protocols handbook, PP: 571-607. Humana Press, New York City, New York, United States.
- 15- Ghorbani, H. R., Samizadeh Lahiji, H., and Nematzadeh, G. A., 2017. Expression pattern analysis of transcription factors from *Aeluropus littoralis* in response to salt stress and recovery condition, Journal of Plant Molecular Breeding, 5(1), PP: 19-30.
- 16- Ghorbani, H. R., Samizadeh Lahiji, H., and Nematzadeh, G. A., 2019. In silico characterization of proteins containing ARID-PHD domain and its expression in *Aeluropus littoralis* halophyte, Journal of Crop Breeding, 11(29), PP: 143-152.
- 17- Guo, B., Wei, Y., Xu, R., Lin, S., Luan, H., Lv, C., Zhang, X., Song, X., and Xu, R., 2016. Genome-wide analysis of *APETALA2/ethylene-responsive factor (AP2/ERF)* gene family in barley (*Hordeum vulgare* L.), Plos One, 11(9), e0161322 p.
- 18- Haake, V., Cook, D., Riechmann, J., Pineda, O., Thomashow, M. F., and Zhang, J. Z., 2002. Transcription factor CBF4 is a regulator of drought adaptation in *Arabidopsis*, Plant physiology, 130(2), PP: 639-648.
- 19- Hall, T. A., 1999. BioEdit: a user-friendly biological sequence alignment editor and analysis program for Windows 95/98/NT, Nucleic Acids Symposium Series, 41, PP: 95-98.
- 20- Hashemi-Petroudi, S. H., Ghorbani, H., and Kuhlmann, M., 2018. Isolation Phosphoglycerate Dehydrogenase gene from *Aeluropus littoralis* halophyte plant and functional analysis of T-DNA mutant in *Arabidopsis thaliana*, Crop biotechnology, 8(23), PP: 79-92.
- 21- Hashemi-Petroudi, S. H., Nematzadeh, G. A., Askari, H., and Ghahary, S., 2014. Involvement of Cytosine DNA methylation in different developmental stages of *Aeluropus littoralis*. Journal of Plant Molecular Breeding, 2(2), PP: 56-67.
- 22- Hashemi-Petroudi, S. H., Nematzadeh, G. A., Askari, H., and Ghasemi, Y., 2012. Pattern of

- DNA cytosine methylation in *Aeluropus littoralis* during temperature stress, Journal of Plant Molecular Breeding, 1(1), PP: 16-24.
- 23- Hashemi-Petroudi, S. H., Nematzadeh, G. A., and M., Kuhlmann., 2019. Identification and analysis of a *DEVIL* paralog gene cluster in *Aeluropus littoralis* by comparative genomic approach Crop biotechnology, 9(25), PP: 79-92.
- 24- Hashemipetroudi, S., Nematzadeh, G., Ahmadian, G., Yamchi, A., and Kuhlmann, M., 2016. Expression analysis of salt stress related expressed sequence tags (ESTs) from *Aeluropus littoralis* by quantitative real-time PCR. Bioscience Biotechnology Research Communications, 9(3), PP: 445-456.
- 25- Hong, J. P., and Kim, W. T., 2005. Isolation and functional characterization of the *Ca-DREBLP1* gene encoding a dehydration-responsive element binding-factor-like protein 1 in hot pepper (*Capsicum annuum* L. cv. Pukang), Planta, 220(6), PP: 875-888.
- 26- Horton, P., Park, K. J., Obayashi, T., Fujita, N., Harada, H., Adams-Collier, C., and Nakai, K., 2007. WoLF PSORT: protein localization predictor. Nucleic acids research, 35, PP: 585-587.
- 27- Hu, B., Jin, J., Guo, A.Y., Zhang, H., Luo, J., and Gao, G., 2014. GSDS 2.0, an upgraded gene feature visualization server, Bioinformatics, 31(8), PP: 1296-1297.
- 28- Ito, Y., Katsura, K., Maruyama, K., Taji, T., Kobayashi, M., Seki, M., Shinozaki, K., and Yamaguchi-Shinozaki, K., 2006. Functional analysis of rice DREB1/CBF-type transcription factors involved in cold-responsive gene expression in transgenic rice. Plant and Cell Physiology, 47(1), PP: 141-153.
- 29- Jones, P., Binns, D., Chang, H. Y., Fraser, M., Li, W., McAnulla, C., McWilliam, H., Maslen, J., Mitchell, A., and Nuka, G., 2014. InterProScan 5: genome-scale protein function classification. Bioinformatics, 30(9), PP: 1236-1240.
- 30- Kaleybar Shahin, B., Nematzadeh, G., Hashemi, S. H. R., Askari, H., and Kabirnataj, S., 2013. Physiological and Genetic Responses of Halophyte *Aeluropus Littoralis* to Salinity. Journal of Crop Breeding, 5(12), PP: 15-29.
- 31- Kasuga, M., Liu, Q., Miura, S., Yamaguchi-Shinozaki, K., and Shinozaki, K., 1999. Improving plant drought, salt, and freezing tolerance by gene transfer of a single stress-inducible transcription factor. Nature biotechnology, 17(3), PP: 287-291.
- 32- Kim, J. S., Mizoi, J., Yoshida, T., Fujita, Y., Nakajima, J., Ohori, T., Todaka, D., Nakashima, K., Hirayama, T., and Shinozaki, K., 2011. An ABRE promoter sequence is involved in osmotic stress-responsive expression of the *DREB2A* gene, which encodes a transcription factor regulating drought-inducible genes in *Arabidopsis*. Plant and Cell Physiology, 52, (12), PP: 2136-2146.
- 33- Lata, C., Mishra, A. K., Muthamilarasan, M., Bonthala, V. S., Khan, Y., and Prasad, M., 2014. Genome-wide investigation and expression profiling of AP2/ERF transcription factor superfamily in foxtail millet (*Setaria italica* L.). PLoS One, 9(11), e113092 p.
- 34- Letunic, I., Doerks, T., and Bork, P., 2014. SMART, recent updates, new developments and status in 2015. Nucleic acids research, 43(D1), PP: D257-D260.
- 35- Li, X. P., Tian, A. G., Luo, G. Z., Gong, Z. Z., Zhang, J. S., and Chen, S. Y., 2005. Soybean DRE-binding transcription factors that are responsive to abiotic stresses. Theoretical and Applied Genetics, 110(8), PP: 1355-1362.
- 36- Lim, C. J., Hwang, J. E., Chen, H., Hong, J. K., Yang, K. A., Choi, M. S., Lee, K. O., Chung, W. S., Lee S. Y., and Lim, C. O., 2007. Over-expression of the *Arabidopsis* DRE/CRT-binding transcription factor DREB2C enhances thermotolerance. Biochemical and biophysical research communications, 362(2), PP: 431-436.
- 37- Lin, R. C., Park, H. J., and Wang, H. Y., 2008. Role of *Arabidopsis* RAP2, 4 in regulating light- and ethylene-mediated developmental processes and drought stress tolerance, Molecular plant, 1(1), PP: 42-57.
- 38- Liu, L., White, M. J., and MacRae, T. H., 1999. Transcription factors and their genes in higher plants: functional domains, evolution and regulation, European Journal of Biochemistry, 262(2), PP: 247-257.
- 39- Liu, M., Sun, W., Ma, Z., Zheng, T., Huang, L., Wu, Q., Zhao, G., Tang, Z., Bu, T., and Li, C., 2019. Genome-wide investigation of the

- AP2/ERF gene family in tartary buckwheat (*Fagopyum Tataricum*), BMC plant biology, 19(1), 84 p.
- 40- Liu, Q., Kasuga, M., Sakuma, Y., Abe, H., Miura, S., Yamaguchi-Shinozaki, K., and Shinozaki, K., 1998. Two transcription factors, DREB1 and DREB2, with an EREBP/AP2 DNA binding domain separate two cellular signal transduction pathways in drought-and low-temperature-responsive gene expression, respectively, in Arabidopsis. *The Plant Cell*, 10(8), PP: 1391-1406.
- 41- Liu, S., Wang, X., Wang, H., Xin, H., Yang, X., Yan, J., Li, J., Tran, L. S. P., Shinozaki, K., and Yamaguchi-Shinozaki, K., 2013. Genome-wide analysis of *ZmDREB* genes and their association with natural variation in drought tolerance at seedling stage of *Zea mays* L. *PLoS genetics*, 9(9), e1003790 p.
- 42- Liu, Y., Zhao, T. J., Liu, J. M., Liu, W. Q., Liu, Q., Yan, Y. B., and Zhou, H. M., 2006. The conserved Ala37 in the ERF/AP2 domain is essential for binding with the DRE element and the GCC box. *FEBS letters*, 580(5), PP: 1303-1308.
- 43- Magnani, E., Sjölander, K., and Hake, S., 2004. From endonucleases to transcription factors, evolution of the AP2 DNA binding domain in plants. *The Plant Cell*, 16(9), PP: 2265-2277.
- 44- Mao, D., and Chen, C., 2012. Colinearity and similar expression pattern of rice DREB1s reveal their functional conservation in the cold-responsive pathway. *PloS one*, 7(10), e47275 p.
- 45- Matsukura, S., Mizoi, J., Yoshida, T., Todaka, D., Ito, Y., Maruyama, K., Shinozaki, K., and Yamaguchi-Shinozaki, K., 2010. Comprehensive analysis of rice *DREB2*-type genes that encode transcription factors involved in the expression of abiotic stress-responsive genes. *Molecular Genetics and Genomics*, 283(2), PP: 185-196.
- 46- Mizoi, J., Shinozaki, K., and Yamaguchi-Shinozaki, K., 2012. AP2/ERF family transcription factors in plant abiotic stress responses. *Biochimica et Biophysica Acta (BBA)-Gene Regulatory Mechanisms*, 1819(2), PP: 86-96.
- 47- Nakano, T., Suzuki, K., Fujimura, T., and Shinshi, H., 2006. Genome-wide analysis of the *ERF* gene family in *Arabidopsis* and rice. *Plant physiology*, 140(2), PP: 411-432.
- 48- Qin, F., Kakimoto, M., Sakuma, Y., Maruyama, K., Osakabe, Y., Tran, L. S. P., Shinozaki, K., and Yamaguchi-Shinozaki, K., 2007. Regulation and functional analysis of *ZmDREB2A* in response to drought and heat stresses in *Zea mays* L. *The Plant Journal*, 50(1), PP: 54-69.
- 49- Qin, F., Sakuma, Y., Li, J., Liu, Q., Li, Y. Q., Shinozaki, K., and Yamaguchi-Shinozaki, K., 2004. Cloning and functional analysis of a novel DREB1/CBF transcription factor involved in cold-responsive gene expression in *Zea mays* L. *Plant and Cell Physiology*, 45(8), PP: 1042-1052.
- 50- Qin, F., Sakuma, Y., Tran, L. S. P., Maruyama, K., Kidokoro, S., Fujita, Y., Fujita, M., Umezawa, T., Sawano, Y., and Miyazono, K. i., 2008. Arabidopsis DREB2A-interacting proteins function as RING E3 ligases and negatively regulate plant drought stress-responsive gene expression. *The plant cell*, 20(6), PP: 1693-1707.
- 51- Rae, L., Lao, N. T., and Kavanagh, T. A., 2011. Regulation of multiple aquaporin genes in *Arabidopsis* by a pair of recently duplicated DREB transcription factors. *Planta*, 234(3), PP: 429-444.
- 52- Sakuma, Y., Liu, Q., Dubouzet, J. G., Abe, H., Shinozaki, K., and Yamaguchi-Shinozaki, K., 2002. DNA-binding specificity of the ERF/AP2 domain of Arabidopsis DREBs, transcription factors involved in dehydration-and cold-inducible gene expression. *Biochemical and biophysical research communications*, 290(3), PP: 998-1009.
- 53- Sakuma, Y., Maruyama, K., Osakabe, Y., Qin, F., Seki, M., Shinozaki, K., and Yamaguchi-Shinozaki, K., 2006. Functional analysis of an Arabidopsis transcription factor, DREB2A, involved in drought-responsive gene expression. *The Plant Cell*, 18(5), PP: 1292-1309.
- 54- Scherf, U., Ross, D. T., Waltham, M., Smith, L. H., Lee, J. K., Tanabe, L., Kohn, K. W., Reinhold, W. C., Myers, T. G., and Andrews, D. T., 2000. A gene expression database for the molecular pharmacology of cancer. *Nature genetics*, 24(3), 236 p.
- 55- Shen, Y. G., Zhang, W. K., He, S. J., Zhang, J. S., Liu, Q., and Chen, S. Y., 2003. An

- EREBP/AP2-type protein in *Triticum aestivum* was a DRE-binding transcription factor induced by cold, dehydration and ABA stress, *Theoretical and Applied Genetics*, 106(5), PP: 923-930.
- 56- Stockinger, E. J., Gilmour, S. J., and Thomashow, M. F., 1997. *Arabidopsis thaliana CBF1* encodes an AP2 domain-containing transcriptional activator that binds to the C-repeat/DRE, a cis-acting DNA regulatory element that stimulates transcription in response to low temperature and water deficit. *Proceedings of the National Academy of Sciences*, 94(3), PP: 1035-1040.
- 57- Tamura, K., Stecher, G., Peterson, D., Filipski, A., and Kumar, S., 2013. MEGA6, molecular evolutionary genetics analysis version 6.0. *Molecular biology and evolution*, 30(12), PP: 2725-2729.
- 58- Thompson, J. D., Gibson, T. J., and Higgins, D. G., 2003. Multiple sequence alignment using ClustalW and ClustalX, *Current protocols in bioinformatics*, 1, PP: 2-3.
- 59- VanGuilder, H. D., Vrana K. E., and Freeman, W. M., 2008. Twenty-five years of quantitative PCR for gene expression analysis, *Biotechniques*, 44(5), PP: 619-626.
- 60- Wang, X., Chen, X., Liu, Y., Gao, H., Wang, Z., and Sun, G., 2011. *CkDREB* gene in *Caragana korshinskii* is involved in the regulation of stress response to multiple abiotic stresses as an AP2/EREBP transcription factor, *Molecular biology reports*, 38(4), PP: 2801-2811.
- 61- Wessler, S. R., 2005. Homing into the origin of the AP2 DNA binding domain, *Trends in plant science*, 10(2), PP: 54-56.
- 62- Xue, G. P., and Loveridge, C. W., 2004. HvDRF1 is involved in abscisic acid-mediated gene regulation in barley and produces two forms of AP2 transcriptional activators, interacting preferably with a CT-rich element. *The Plant Journal*, 37(3), PP: 326-339.
- 63- Yamaguchi-Shinozaki, K., and Shinozaki, K., 1994. A novel cis-acting element in an *Arabidopsis* gene is involved in responsiveness to drought, low-temperature, or high-salt stress. *The Plant Cell*, 6(2), PP: 251-264.
- 64- Zhang, S., Xia, X., Shen, J., Zhou, Y., and Sun, Z., 2008. DBMLoc, a Database of proteins with multiple subcellular localizations, *BMC bioinformatics*, 9(1), 127 p.
- 65- Zouari, N., Saad, R. B., Legavre, T., Azaza, J., Sabau, X., Jaoua, M., Masmoudi, K., and Hassairi, A., 2007. Identification and sequencing of ESTs from the halophyte grass *Aeluropus littoralis*, *Gene*, 404(1), PP: 61-69.

## Identification, classification and expression analysis of *DREB* transcription factor gene family in *Aeluropus littoralis* under salinity stress

Hashemi-petroudi S.H. and Mohammadi S.

Dept., of Genetic Engineering and Biology, Genetics and Agricultural Biotechnology Institute of Tabarestan (GABIT), Sari Agricultural Sciences and Natural Resources University (SANRU), Sari, I.R of Iran.

### Abstract

*DREB* gene family is one large family of transcription factors that plays an important role in regulating plant growth and the response to external environmental stresses. Due to the sequencing of the *Aeluropus littoralis* halophyte plant genome has provided an excellent opportunity for genome-wide analysis of genes belonging to *DREB* gene family. In total, 16 non-redundant *DREB*-encoding genes were identified from the genomic sequences of *A. littoralis*. In this research, gene structures, phylogenetic relationships, motif compositions and expression profiles of *DREB* genes under salt stress and recovery conditions were analyzed. The phylogenetic construction suggests that the *AlDREB* gene family was classified into five groups (A1, A2, A4, A5 and A6) in *A. littoralis*. Gene structure and motif composition revealed that these genes were conservative in each group, suggesting that members of the same group may also have conserved functions. Based on RNA-seq data, *AlDREB6.3* and *AlDREB6.2* genes were expressed more in root tissue under salinity stress. The least expression level was observed in *AlDREB6.4* and *AlDREB6.3* genes in leaf tissue under recovery conditions. Result of this study can be applied as a foundation for functional analyses to unravel the biological roles of *Aeloropus*' *DREB* genes.

**Key words:** *Aeluropus littoralis*, *DREB* transcription factor, Gene Expression, Phylogenetic relationships, salinity stress